

ДВЕ ЗАДАЧИ О РАВНОВЕСИИ УПРУГОГО ПАРАЛЛЕЛЕПИПЕДА

М. М. Филоненко-Бородич

(Москва)

В работе [1] разобрана задача о равновесии упругого параллелепипеда под действием нагрузок, приложенных к двум противоположным граням его. В этой работе указано, при пользовании вариационным методом Кастильяно необходимо составить синевной тензор напряжений и корректирующий тензор, при этом дается способ построения основного тензора в случае различных нагрузок на основаниях $z=0$ и $z=h$ параллелепипеда. Здесь эта задача рассматривается подробнее, и указывается эффективный ход решения ее. Рассмотрено также напряженное состояние параллелепипеда вследствие неравномерного распределения температуры в нем.

Номера формул указанной работы [1], на которые здесь приходится ссылаться, отмечаются звездочками, некоторые из них для удобства будут повторены.

I. Равновесие параллелепипеда под действием нагрузок на двух противоположных гранях

1. О построении решения. Для построения основного тензора применим три функции напряжений (4.1*) Максвелла

$$\varphi_k = \frac{1}{2} \left(1 + \cos \frac{\pi z}{h} \right) F_k(x, y) + \frac{1}{2} \left(1 - \cos \frac{\pi z}{h} \right) \Phi_k(x, y) \quad (k = 1, 2, 3) \quad (1.1)$$

Компоненты тензора напряжений выражаются так:

$$X_x = \frac{1}{2} \left(1 + \cos \frac{\pi z}{h} \right) \frac{\partial^2 F_3}{\partial y^2} + \frac{1}{2} \left(1 - \cos \frac{\pi z}{h} \right) \frac{\partial^2 \Phi_3}{\partial y^2} - \frac{1}{2} \frac{\pi^2}{h^2} \cos \frac{\pi z}{h} F_2 + \frac{1}{2} \frac{\pi^2}{h^2} \cos \frac{\pi z}{h} \Phi_2 \quad (1.2)$$

$$Y_y = \frac{1}{2} \left(1 + \cos \frac{\pi z}{h} \right) \frac{\partial^2 F_3}{\partial x^2} + \frac{1}{2} \left(1 - \cos \frac{\pi z}{h} \right) \frac{\partial^2 \Phi_3}{\partial x^2} - \frac{1}{2} \frac{\pi^2}{h^2} \cos \frac{\pi z}{h} F_1 + \frac{1}{2} \frac{\pi^2}{h^2} \cos \frac{\pi z}{h} \Phi_1$$

$$Z_z = \frac{1}{2} \left(1 + \cos \frac{\pi z}{h} \right) \frac{\partial^2 F_1}{\partial y^2} + \frac{1}{2} \left(1 - \cos \frac{\pi z}{h} \right) \frac{\partial^2 \Phi_1}{\partial y^2} + \frac{1}{2} \left(1 + \cos \frac{\pi z}{h} \right) \frac{\partial^2 F_2}{\partial x^2} + \frac{1}{2} \left(1 - \cos \frac{\pi z}{h} \right) \frac{\partial^2 \Phi_2}{\partial x^2}$$

$$X_y = -\frac{1}{2} \left(1 + \cos \frac{\pi z}{h} \right) \frac{\partial^2 F_3}{\partial x \partial y} - \frac{1}{2} \left(1 - \cos \frac{\pi z}{h} \right) \frac{\partial^2 \Phi_3}{\partial x \partial y}$$

$$Y_z = \frac{1}{2} \frac{\pi}{h} \sin \frac{\pi z}{h} \frac{\partial F_1}{\partial y} - \frac{1}{2} \frac{\pi}{h} \sin \frac{\pi z}{h} \frac{\partial \Phi_1}{\partial y}$$

$$Z_x = \frac{1}{2} \frac{\pi}{h} \sin \frac{\pi z}{h} \frac{\partial F_2}{\partial x} - \frac{1}{2} \frac{\pi}{h} \sin \frac{\pi z}{h} \frac{\partial \Phi_2}{\partial x}$$

Сюда входят шесть произвольных функций F и Φ , которые определяются из граничных условий.

Пусть на верхнем и нижнем основаниях параллелепипеда заданы нагрузки $\psi_h(x, y)$ и $\psi_0(x, y)$. Это дает условия (4.2*)

$$\frac{\partial^2 F_1}{\partial y^2} + \frac{\partial^2 F_2}{\partial x^2} = \psi_0 \quad \text{при } z = 0, \quad \frac{\partial^2 \Phi_1}{\partial y^2} + \frac{\partial^2 \Phi_2}{\partial x^2} = \psi_h \quad \text{при } z = h \quad (1.3)$$

При этом согласно (1.2) касательные напряжения на этих гранях отсутствуют. Боковые грани свободны от нагрузок; это приводит к условиям (4.3*) и (4.4*)

$$\begin{aligned} \frac{\partial^2 F_3}{\partial y^2} &= \frac{\partial^2 \Phi_3}{\partial y^2} = 0, & F_2 = \Phi_2 &= 0 \\ \frac{\partial^2 F_3}{\partial x \partial y} &= \frac{\partial^2 \Phi_3}{\partial x \partial y} = 0, & \frac{\partial F_2}{\partial x} = \frac{\partial \Phi_2}{\partial x} &= 0 \end{aligned} \quad \text{при } x = 0, x = d \quad (1.4)$$

$$\begin{aligned} \frac{\partial^2 F_3}{\partial x^2} &= \frac{\partial^2 \Phi_3}{\partial x^2} = 0, & F_1 = \Phi_1 &= 0 \\ \frac{\partial^2 F_3}{\partial x \partial y} &= \frac{\partial^2 \Phi_3}{\partial x \partial y} = 0, & \frac{\partial F_1}{\partial y} = \frac{\partial \Phi_1}{\partial y} &= 0, \end{aligned} \quad \text{при } y = 0, y = k \quad (1.5)$$

Из уравнений (1.3) и граничных условий (1.4) и (1.5) можно видеть, что каждая из нагрузок ψ_0 и ψ_h самоуравновешена на своей грани, к ним следует добавить равномерное сжатие параллелепипеда $Z_z = q$.

Другими словами из заданных нагрузок $Q_0(x, y)$ и $Q_h(x, y)$ следует выделить этот постоянный компонент q и тем самым перейти к нагрузкам ψ_0 и ψ_h .

Однако в общем случае по выделении из заданной нагрузки $Q(x, y)$ постоянного компонента q останется нагрузка, моменты которой $M_x^{(0)}$ и $M_y^{(0)}$ относительно осей x и y отличны от нуля; в этом случае к q следует добавить нагрузку с главным вектором, равным нулю; например,

$$A \cos \frac{\pi x}{d} + B \cos \frac{\pi y}{k}$$

Моменты ее относительно осей x и y будут:

$$M_x' = -B \frac{2dk^2}{\pi^2}, \quad M_y' = A \frac{2d^2k}{\pi^2}$$

Такую же нагрузку с обратным знаком добавим к оставшейся части заданной нагрузки; тогда для нее будет

$$M_x = M_x^{(0)} + B \frac{2dk^2}{\pi^2}, \quad M_y = M_y^{(0)} - A \frac{2d^2k}{\pi^2}$$

Остается A и B выбрать так, чтобы эти моменты обратились в нуль:

$$A = \frac{\pi^2}{2d^2k} M_y^{(0)}, \quad B = -\frac{\pi^2}{2dk^2} M_x^{(0)}$$

Полученные таким образом нагрузки ψ_0 и ψ_h самоуравновешены.

Неуравновешенная часть заданной нагрузки

$$Q_1(x, y) = q + \frac{\pi^2}{2dk} \left(\frac{i}{d} M_y^{(0)} \cos \frac{\pi x}{d} - \frac{1}{k} M_x^{(0)} \cos \frac{\pi y}{k} \right)$$

составит первую часть основного тензора (см. § 3 работы [1])

$$Z_z = Q_1(x, y), \quad X_x = Y_y = X_y = Y_z = Z_x = 0$$

удовлетворяющую уравнениям равновесия. Боковая поверхность параллелепипеда при этом свободна от нагрузок.

Возвращаясь к уравнениям (1.3) и к граничным условиям (1.4) и (1.5), видим, что функции F_3 и Φ_3 связаны только граничными условиями (1.4) и (1.5) и могут быть заданы согласно (4.5*) и в частности в виде

$$F_3 = \Phi_2 = P_m(x) P_n(y) \quad (1.6)$$

где P_m и P_n — косинус-биноны, определенные (1.4*).

Для остальных четырех функций F_1 , Φ_1 , F_2 и Φ_2 в цитированной работе даны выражения (4.6*), (4.7*)

$$\begin{aligned} F_1 &= \frac{\partial^2 \omega}{\partial x^2}, & F_2 &= -\frac{\partial^2 \omega}{\partial y^2} + \Psi_0 \\ \Phi_1 &= \frac{\partial^2 \varphi}{\partial x^2}, & \Phi_2 &= -\frac{\partial^2 \varphi}{\partial y^2} + \Psi_h \end{aligned} \quad (1.7)$$

Функции Ψ_0 и Ψ_h таковы, что

$$\frac{\partial^2 \Psi_0}{\partial x^2} = \psi_0, \quad \frac{\partial^2 \Psi_h}{\partial x^2} = \psi_h \quad (1.8)$$

При этом функции $\omega = \omega(x, y)$ и $\varphi = \varphi(x, y)$ должны удовлетворять граничным условиям

при $x = 0, x = d$

$$\frac{\partial^2 \omega}{\partial y^2} = \Psi_0, \quad \frac{\partial^2 \varphi}{\partial y^2} = \Psi_h, \quad \frac{\partial^3 \omega}{\partial y^2 \partial x} = \frac{\partial \Psi_0}{\partial x}, \quad \frac{\partial^3 \varphi}{\partial y^2 \partial x} = \frac{\partial \Psi_h}{\partial x} \quad (1.9)$$

при $y = 0, y = k$

$$\frac{\partial^2 \omega}{\partial x^2} = 0, \quad \frac{\partial^2 \varphi}{\partial x^2} = 0, \quad \frac{\partial^3 \omega}{\partial x^2 \partial y} = 0, \quad \frac{\partial^3 \varphi}{\partial x^2 \partial y} = 0 \quad (1.10)$$

Замечание. Кроме приведенного выше решения (1.7) — (1.10), очевидно можно построить аналогичным путем другой вид решения, который получается из тех же формул путем одновременной перестановки индексов 1 и 2, переменных x и y , а также ребер параллелепипеда d и k .

2. Построение функций ω и φ . Будем пользоваться формулами (1.7) — (1.10) и примем

$$\Psi_0 = \int_0^x \int_0^x \psi_0 d\bar{x}^2 \quad \left(\Psi_0 = 0, \frac{\partial \Psi_0}{\partial x} = 0 \quad \text{при } x = 0 \right) \quad (2.1)$$

Напомним

$$\frac{\partial^2 \omega}{\partial y^2} = (\alpha + 1) \Psi_0 + \beta \quad (2.2)$$

где $\alpha(x, y)$ и $\beta(x, y)$ — функции, удовлетворяющие граничным условиям

$$x = 0, \quad \frac{\partial \alpha}{\partial x} = 0; \quad \beta = 0, \quad \frac{\partial \beta}{\partial x} = 0 \quad \text{при } x = 0, x = d \quad (2.3)$$

Тогда граничные условия (1.9) для функции ω будут удовлетворены. Из (2.2) находим

$$\omega = \int_0^y \int_0^y [(\alpha + 1) \Psi_0 + \beta] dy^2 \quad (2.4)$$

где произвольные функции от x , появляющиеся при интеграции, полагаем равными нулю. Из (2.4) имеем

$$\frac{\partial^2 \omega}{\partial x^2} = \int_0^y \int_0^y \frac{\partial^2}{\partial x^2} [(\alpha + 1) \Psi_0 + \beta] dy^2 \quad (2.5)$$

$$\frac{\partial^2 \omega}{\partial x^2 \partial y} = \int_0^y \frac{\partial^2}{\partial x^2} [(\alpha + 1) \Psi_0 + \beta] dy \quad (2.6)$$

Условия (1.10) для функции ω при $y = 0$ будут, очевидно, удовлетворены; эти же условия при $y = k$ дают

$$\int_0^k \frac{\partial^2}{\partial x^2} [(\alpha + 1) \Psi_0 + \beta] dy = 0, \quad \int_0^k \int_0^k \frac{\partial^2}{\partial x^2} [(\alpha + 1) \Psi_0 + \beta] dy^2 = 0 \quad (2.7)$$

Распоряжаясь функциями α и β , этим двум условиям всегда можно удовлетворить.

Мы рассмотрели построение функции ω ; функция φ строится так же, с заменой Ψ_0 на Ψ_h .

Найдя φ и ω , подставляем их соответственно в (1.7), после чего строим основной тензор напряжений (1.2). При этом заметим, что компонент X_y не зависит от функций φ и ω ; эти функции не войдут в компонент Z_z , который будет иметь всегда следующий вид:

$$Z_z = \frac{1}{2} \left(1 + \cos \frac{\pi z}{h} \right) \Psi_0 + \frac{1}{2} \left(1 - \cos \frac{\pi z}{h} \right) \Psi_h \quad (2.8)$$

3. Метод разделения переменных. Применим намеченный в предыдущем параграфе путь построения функций ω и φ к тому случаю, когда нагрузка ψ может быть представлена в виде

$$\psi = X_\psi(x) Y_\psi(y) \quad (3.1)$$

(здесь и в дальнейшем под ψ понимается либо Ψ_0 , либо Ψ_h).

По условию самоуравновешенности этой нагрузки главный вектор ее равен нулю:

$$\int_0^k \int_0^d \psi dx dy = \int_0^d X_\psi dx \int_0^k Y_\psi dy = 0$$

Это возможно при одном из следующих условий

$$\int_0^d X_\psi dx = 0 \quad \text{или} \quad \int_0^k Y_\psi dy = 0 \quad (3.2)$$

Рассмотрим первый случай:

$$\int_0^d X_\psi dx = 0, \quad \int_0^k Y_\psi dy \neq 0 \quad (3.3)$$

Равенство нулю главного момента приводит к двум условиям:

$$\int_0^k \int_0^d \psi x \, dx \, dy = 0, \quad \int_0^k \int_0^d \psi y \, dx \, dy = 0$$

Второе условие выполняется на основании первого из равенств (3.3):

$$\int_0^k \int_0^d \psi y \, dx \, dy = \int_0^k Y_\psi y \, dy \int_0^d X_\psi \, dx = 0 \quad (3.4)$$

Первое условие получит вид

$$\int_0^d X_\psi x \, dx \int_0^k Y_\psi \, dy = 0, \quad \text{или} \quad \int_0^d X_\psi x \, dx = 0 \quad (3.5)$$

где принято во внимание второе условие (3.3). Воспользуемся соотношением

$$\begin{aligned} \int_0^d \int_0^d X_\psi \, dx^2 &= \int_0^d X_\psi(\xi)(x - \xi) \, d\xi = \\ &= x \int_0^d X_\psi(\xi) \, d\xi - \int_0^d \xi X_\psi(\xi) \, d\xi = - \int_0^d X_\psi(x) x \, dx \end{aligned}$$

Тогда условие (3.5) можно представить в виде

$$\int_0^d \int_0^d X_\psi \, dx^2 = 0 \quad (3.6)$$

Таким образом, самоуравновешенность нагрузки (3.1) обеспечена при условиях (3.3) и (3.6). Если же окажется, что

$$\int_0^d X_\psi \, dx \neq 0 \quad (3.7)$$

то условия самоуравновешенности будут

$$\int_0^k Y_\psi \, dy = 0, \quad \int_0^k \int_0^k Y_\psi \, dy^2 = 0 \quad (3.8)$$

Наконец, если

$$\int_0^d X_\psi \, dx = 0, \quad \int_0^k Y_\psi \, dy = 0$$

то эти два условия на основании (3.4) и (3.5) достаточны для самоуравновешенности нагрузки.

Рассмотрим, например, второй случай, при котором имеют место условия (3.7) и (3.8). Воспользуемся решениями (1.7). Согласно (2.1) получим

$$\Psi_0 = X_\psi Y_\psi, \quad X_\psi = \int_0^x \int_0^x X_\psi \, dx^2 \quad (3.9)$$

Функции α и β (Формула 2.2) возьмем в виде

$$\alpha = X_\alpha Y_\alpha, \quad \beta = X_\beta Y_\beta \quad (3.10)$$

При этом согласно (2.3) должны быть:

$$X_\alpha = X_\alpha' = X_\beta = X_\beta' = 0 \quad \text{при } x = 0, x = d \quad (3.11)$$

Здесь и в дальнейшем штрихами обозначены производные по x . Правая часть (2.2) получит вид:

$$X_\alpha X_\Psi Y_\alpha Y_\phi + X_\Psi Y_\phi + X_\beta Y_\beta \quad (3.12)$$

Подставив это в условия (2.7) и учитывая (3.3) и (3.6), приведем их к виду

$$M_1 (X_\alpha X_\Psi)'' + N_1 X_\beta'' = 0, \quad M_2 (X_\alpha X_\Psi)'' + N_2 X_\beta'' = 0 \quad (3.13)$$

где

$$\begin{aligned} M_1 &= \int_0^k Y_\alpha Y_\phi dy, & N_1 &= \int_0^k Y_\beta dy \\ M_2 &= \int_0^k \int_0^k Y_\alpha Y_\phi dy^2, & N_2 &= \int_0^k \int_0^k Y_\alpha dy^2 \end{aligned} \quad (3.14)$$

Проинтегрируем (3.13) дважды. Получим

$$M_1 X_\alpha X_\Psi + N_1 X_\beta = 0, \quad M_2 X_\alpha X_\Psi + N_2 X_\beta = 0 \quad (3.15)$$

Произвольные постоянные интегрирования полагаем равными нулю в силу условий (3.11). Из этих уравнений найдем X_α и X_β , не равные одновременно нулю, если соблюдено условие

$$M_1 N_2 - M_2 N_1 = 0 \quad (3.16)$$

Тогда

$$X_\beta = -\frac{M_1}{N_1} X_\Psi X_\alpha, \quad \text{или} \quad X_\beta = -\frac{M_2}{N_2} X_\Psi X_\alpha \quad (3.17)$$

Оба этих равенства эквиваленты в силу (3.16).

Таким образом, X_α может быть наперед задана произвольно с соблюдением лишь условий (3.11), и тогда X_β найдется по (3.17).

Заметим, что функция Y_β в предыдущих рассуждениях осталась произвольной; ею всегда можно распорядиться так, чтобы

$$N_1 \neq 0, \quad N_2 \neq 0 \quad (3.18)$$

и чтобы условие (3.16) было удовлетворено.

Если функции $X_\alpha, X_\beta, Y_\alpha, Y_\beta$ таким путем определены, то, подставив их в (3.14) и далее в (2.2), найдем $\partial^2 \omega / \partial y^2$; и, наконец, пользуясь (2.4) и (2.5), определим $\partial^2 \omega / \partial x^2$.

Внеся эти значения в (1.7), определим функции F_1, F_2, Φ_1, Φ_2 , и согласно (1.2) построим основной тензор задачи.

Наши рассуждения относились ко второму случаю, соответствующему условиям (3.8).

Если имеет место первый случай [условия (3.3) и (3.6)], то следует воспользоваться видом решения, которое строится согласно замечанию в конце § 1. Все предыдущие выкладки, начиная с формулы (3.9), придется воспроизвести лишь взаимно переставив (как указано выше) x и y ; d и k ; поэтому условие (3.11) заменится следующими:

$$Y_\alpha = Y_{\alpha'} = Y_\beta = Y_{\beta'} = 0 \quad \text{при } y = 0, y = k \quad (3.19)$$

Рассмотренный здесь способ распространяется, очевидно, и на тот случай, если

$$\psi = \sum X_\phi Y_\phi$$

при условии, что каждый член этой суммы даст самоуравновешенную нагрузку.

4. Пример. В качестве примера, поясняющего рассуждения § 3, возьмем нагрузку, рассмотренную в § 2 работы [1]. А именно¹

$$q(x, y) = \left(1 - \cos \frac{2\pi x}{d}\right) \left(1 - \cos \frac{2\pi y}{k}\right) \quad (4.1)$$

Выделив отсюда равномерную нагрузку $q = 1$ (она войдет в первый тензор, указанный в § 3 работы [1]), получим самоуравновешенную часть ее, которую для симметрии представим в виде:

$$\psi = \cos \frac{2\pi y}{k} \left(\frac{1}{2} \cos \frac{2\pi x}{d} - 1\right) + \cos \frac{2\pi x}{d} \left(\frac{1}{2} \cos \frac{2\pi y}{k} - 1\right) \quad (4.2)$$

В обоих членах этой формулы переменные разделены (ср. формулу 3.1). Рассмотрим первый член, обозначив:

$$X_\phi = \frac{1}{2} \cos \frac{2\pi x}{d} - 1, \quad Y_\phi = \cos \frac{2\pi y}{k} \quad (4.3)$$

Легко видеть, что в этом случае имеют место условия (3.7) и (3.8).

Согласно (3.9) подсчитываем

$$X_\Psi = \int_0^x \int_0^y \left(\frac{1}{2} \cos \frac{2\pi x}{d} - 1\right) dx dy = -\frac{d^2}{8\pi^2} \left(\cos \frac{2\pi x}{d} - 1 + 4\pi^2 \frac{x^2}{d^2}\right) \quad (4.4)$$

Далее в формулах (3.10) выберем X_α в виде

$$X_\alpha = 1 - \cos \frac{2\pi x}{d} \quad (4.5)$$

удовлетворяющем условиям (3.11). Функцию Y_α выбираем произвольно; положим

$$Y_\alpha = 1 - \cos \frac{2\pi y}{k} \quad (4.6)$$

Для подсчета интегралов (3.14) и соблюдения условия (3.16) при выборе функции Y_β включаем в нее произвольный параметр λ ; сделать это можно различными способами, ограничиваясь лишь слабыми условиями (3.18).

Примем, например,

$$Y_\beta = y^2 + \lambda$$

¹ Эта нагрузка является частным видом нагрузки, рассматриваемой ниже в § 5; задача решается несколько иначе, чем указанным там способом.

Тогда, подсчитывая интегралы (3.14) с учетом (4.3) и (4.6), найдем

$$\begin{aligned} M_1 &= \int_0^k \left(1 - \cos \frac{2\pi y}{k}\right) \cos \frac{2\pi y}{k} = -\frac{k}{2} \\ M_2 &= \int_0^k \int_0^k \left(1 - \cos \frac{2\pi y}{k}\right) \cos \frac{2\pi y}{k} = -\frac{k^2}{4} \\ N_1 &= \int_0^k (y^2 + \lambda) dy = \frac{k}{3} (k^2 + 3\lambda) \\ N_2 &= \int_0^k \int_0^k (y^2 + \lambda) dy^2 = \frac{k^2}{2} \left(\frac{k^2}{6} + \lambda\right) \end{aligned}$$

Подставляя эти значения в (3.16), найдем $\lambda = -\frac{1}{4} k^2$, так что

$$Y_B = y^2 - \frac{1}{4} k^2 \quad (4.7)$$

При этом условия (3.18) удовлетворены, т. е. $N_1 \neq 0$, $N_2 \neq 0$. Однако в случае нагрузки (4.3) удобно принять

$$Y_B = \lambda \pm \cos \frac{2\pi y}{k}$$

Тогда $N_1 = \lambda k$, $N_2 = \frac{1}{2} \lambda k^2$ и условие (3.16) удовлетворено при произвольном λ ; действительностью, оно получит вид:

$$\left(-\frac{k}{2}\right) \frac{\lambda k^2}{2} - \left(-\frac{k^2}{4}\right) \lambda k = 0$$

Вследствие условий (3.18) λ надо взять отличным от нуля; примем $\lambda = 1$ и тогда

$$Y_B = 1 \pm \cos \frac{2\pi y}{k} \quad (4.8)$$

Теперь остается из (3.17) найти X_B . Имеем

$$X_B = -\frac{1}{4} \left(2 - \cos \frac{2\pi x}{d}\right) \left(1 - \cos \frac{2\pi x}{d}\right) \quad (4.9)$$

Полагаясь (3.16), (4.5), (4.6), (4.8), и (4.9), получим:

$$\begin{aligned} \alpha &= \left(1 - \cos \frac{2\pi x}{d}\right) \left(1 - \cos \frac{2\pi y}{k}\right) \\ \beta &= -\frac{1}{4} \left(2 - \cos \frac{2\pi x}{d}\right) \left(1 - \cos \frac{2\pi x}{d}\right) \left(1 - \cos \frac{2\pi y}{k}\right) \end{aligned} \quad (4.10)$$

Подставив (4.10), (4.4) и (4.3) в (3.10) и затем в (2.2), находим

$$\begin{aligned} \frac{\partial^2 \omega}{\partial y^2} &= -\frac{d^2}{8\pi^2} \left[\left(1 - \cos \frac{2\pi x}{d}\right) \left(1 - \cos \frac{2\pi y}{k}\right) - 1 \right] \left(\cos \frac{2\pi x}{d} - 1 + \right. \\ &\quad \left. + \frac{4\pi^2}{d^2} x^2 \right) \cos \frac{2\pi y}{k} - \frac{1}{4} \left(2 - \cos \frac{2\pi x}{d}\right) \left(1 - \cos \frac{2\pi x}{d}\right) \left(1 - \cos \frac{2\pi y}{k}\right) \end{aligned} \quad (4.11)$$

Наконец, из (2.4) и (2.5) получим выражение $\partial^2 \omega / \partial x^2$. Функции F_1 и F_2 для тензора (1.2) строятся по формулам (1.7).

Второй член нагрузки (4.2) отличается от первого лишь перестановками x и y , соответственно, d и k . Поэтому вычисления для него проходят с учетом замечания в конце § 1.

5. Случай нагрузки, симметричной относительно главных осей загруженной грани. В этом случае нагрузку можно представить в виде

$$q(x, y) = \sum_{n=0}^{\infty} \sum_{m=0}^{\infty} C_{mn} \cos \frac{2m\pi x}{d} \cos \frac{2n\pi y}{k} \quad (5.1)$$

Выделив отсюда первый член C_{00} , получим самоуравновешенную нагрузку; члены оставшейся суммы будут трех родов:

$$\psi_{01} = C_{mn} \cos \frac{2m\pi x}{d} \cos \frac{2n\pi y}{k} \quad \text{при } m \neq 0, n \neq 0 \quad (5.2)$$

$$\psi_{02} = C_{m0} \cos \frac{2m\pi x}{d} \quad \text{при } m \neq 0, n = 0 \quad (5.3)$$

$$\psi_{03} = C_{0n} \cos \frac{2n\pi y}{k} \quad \text{при } m = 0, n \neq 0 \quad (5.4)$$

В данном случае нет надобности применять рассмотренный выше общий ход рассуждений и решение можно упростить.

Рассмотрим член первого рода (5.2). Частное решение первого из уравнений (1.3) возьмем в виде:

$$F_1 = \frac{1}{2} \int_0^y \int_0^y \psi_{01} dy^2 = C_{mn} \frac{k^2}{8n^2\pi^2} \cos \frac{2m\pi x}{d} \left(1 - \cos \frac{2n\pi y}{k} \right) \quad (5.5)$$

$$F_2 = \frac{1}{2} \int_0^x \int_0^x \psi_{01} dx^2 = C_{mn} \frac{d^2}{8m^2\pi^2} \left(1 - \cos \frac{2m\pi x}{d} \right) \cos \frac{2n\pi y}{k}$$

При этом необходимые граничные условия (1.4) и (1.5) удовлетворены, так как, согласно (2.1), $\Psi_0(d) = 0$; упрощение решения обусловлено именно этой особенностью нагрузки (5.2). Переходя к членам второго рода (5.3), возьмем частное решение первого уравнения (1.3) в виде

$$F_1 = 0, \quad F_2 = \int_0^x \int_0^x \psi_{02} dx^2 = C_{m0} \frac{d^2}{4m^2\pi^2} \left(1 - \cos \frac{2m\pi x}{d} \right) \quad (5.6)$$

Для членов третьего рода (5.4) примем аналогично

$$F_1 = C_{0n} \frac{k^2}{4n^2\pi^2} \left(1 - \cos \frac{2n\pi y}{k} \right), \quad F_2 = 0 \quad (5.7)$$

Границные условия (1.4) и (1.5) в этих случаях также удовлетворены.

На основании сказанного, функции F_1 и F_2 для нагрузки (5.1), при исключении неуравновешенной части C_{00} , могут быть записаны так:

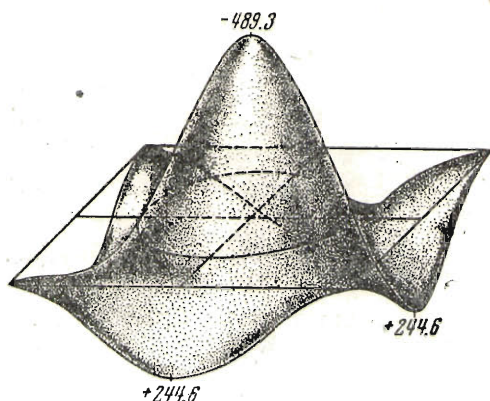
$$\begin{aligned} F_1 &= \frac{k^2}{8\pi^2} \sum \sum C_{mn} \frac{1}{n^2} \cos \frac{2m\pi x}{d} \left(1 - \cos \frac{2n\pi y}{k} \right) \\ F_2 &= \frac{d^2}{8\pi^2} \sum \sum C_{mn} \frac{1}{m^2} \left(1 - \cos \frac{2m\pi x}{d} \right) \cos \frac{2n\pi y}{k} \end{aligned} \quad (5.8)$$

следует лишь учесть, что в соответствии с (5.6) и (5.7), при $n = 0$, соответствующий член в сумме F_1 отсутствует, а в сумме F_2 удваивается; при $m = 0$, соответствующий член в сумме F_2 отсутствует, а в сумме F_1 удваивается.

II. Температурные напряжения в упругом параллелепипеде

6. Метод решения задачи. Рассмотрим напряженное состояние упругого прямого параллелепипеда с ребрами d, k, h , свободного от нагрузок на поверхности, но подверженного действию температуры, распределенной внутри его по закону

$$t = T(x, y, z) \quad (6.1)$$



Фиг. 1

формулам (1.6*). При этом вся поверхность параллелепипеда свободна от нагрузок благодаря граничным свойствам (1.4) косинус-бинонмов.

В предыдущей работе [1] тензор (1.6*) рассматривался как корректирующий в методе Кастильяно; для настоящей задачи он вместе с тем будет и основным, поскольку он удовлетворяет граничным условиям этой задачи.

7. Вариационная формула Кастильяно. Для применения метода Кастильяно к случаю температурного воздействия будем исходить из следующего равенства:

$$\begin{aligned} & \int_{(S)} (X_v u' + Y_v v' + Z_v w') dS + \int_{(-)} (X_u' + Y_v' + Z_w') d\tau = \\ & = \int_{(\tau)} (X_x e_{xx}' + Y_y e_{yy}' + Z_z e_{zz}' + X_u e_{xy}' + Y_z e_{yz}' + Z_x e_{zx}') d\tau \end{aligned} \quad (7.1)$$

Здесь X_v, Y_v, Z_v — поверхностные нагрузки; $\rho X, \rho Y, \rho Z$ — объемные силы; X_x, \dots, Z_x — компоненты какого-либо тензора напряжений, удовлетворяющие дифференциальным уравнениям; e_{xx}', \dots, e_{zx}' — компоненты тензора деформации, вызванной произвольно заданными перемещениями u', v', w' точек тела.

Равенство (7.1) есть простое обобщение известного равенства, применяемого обычно при доказательстве теоремы единственности Кирхгоффа; оно может быть получено путем преобразования соответствующего поверхностного интеграла в объемный с использованием условий на поверхности и уравнений равновесия Навье-Коши в напряжениях.

Применим равенство (7.1) к рассматриваемой температурной задаче. Отбросим объемные силы и учтем, что поверхность свободна от нагрузок:

$$X_v = Y_v = Z_v = 0$$

В качестве напряжений X_x, \dots, X_y возьмем возможные вариации $\delta X_x, \dots, \delta Z_x$ компонентов искомого тензора напряжений, удовлетворяющие уравнениям равновесия. В качестве u', v', w' возьмем действительные перемещения точек тела u, v, w ; выражим деформации через напряжения

$$e_{xx}' = e_{xx} = \frac{1}{E} [X_x - \sigma(Y_y + Z_z)] + \alpha t, \quad e_{xy}' = \frac{2(1+\sigma)}{E} X_y \quad (7.2)$$

где α — коэффициент линейного расширения (деформации $e_{yy}', e_{zz}', e_{yz}'$ и e_{zx}' получаются круговой перестановкой x, y, z).

Подставив эти значения в (7.1) и вынося знак вариации за знак интеграла, получим

$$\begin{aligned} & \frac{1}{2E} \delta \int_{(\tau)} [X_x^2 + Y_y^2 + Z_z^2 - 2\sigma(X_x Y_y + Y_y Z_z + Z_z X_x) + \\ & + 2(1+\sigma)(X_y^2 + Y_z^2 + Z_x^2) + 2E\alpha t(X_x + Y_y + Z_z)] d\tau = 0 \end{aligned} \quad (7.3)$$

Если сюда внесем значение t из (6.4), а выражения компонентов тензора напряжений из (1.6*), и выполним интегрирование, то интеграл левой части (7.3) выразится в виде квадратичной функции от коэффициентов $A_{\text{пар}}, B_{\text{пар}}, C_{\text{пар}}$; уравнение (7.3) является необходимым условием экстремума этой функции.

Введем обозначение

$$\begin{aligned} W = & \frac{1}{2E} \int_{(\tau)} [X_x^2 + Y_y^2 + Z_z^2 - 2\sigma(X_x Y_y + Y_y Z_z + Z_z X_x) + \\ & + 2(1+\sigma)(X_y^2 + Y_z^2 + Z_x^2) + 2E\alpha T(X_x + Y_y + Z_z)] d\tau \end{aligned} \quad (7.4)$$

Тогда условия экстремума можно записать в виде

$$\frac{\partial W}{\partial A_{\text{пар}}} = 0, \quad \frac{\partial W}{\partial B_{\text{пар}}} = 0, \quad \frac{\partial W}{\partial C_{\text{пар}}} = 0 \quad (7.5)$$

Эти условия дадут систему линейных уравнений для определения коэффициентов $A_{\text{пар}}, B_{\text{пар}}, C_{\text{пар}}$.

8. Пример. Пусть внутри прямого параллелепипеда с ребрами d, k, h задано распределение температуры по закону

$$T = T_1 \sin \frac{\pi x}{d} \sin \frac{\pi y}{k} \sin \frac{\pi z}{h}$$

дающему в центре шах $T = T_1$, а на поверхности $T = 0$. Материал — сталь, для которой $E = 2 \times 10^6$ кг см $^{-2}$, $\alpha = 125 \times 10^{-7}$; $E\alpha = 25$ кг см $^{-2}$.

Решая эту задачу в первом приближении, функции напряжений (1.5*) возьмем в виде

$$\varphi_1 = AP_0(x)P_0(y)P_0(z), \quad \varphi_2 = BP_0(x)P_0(y)P_0(z), \quad \varphi_3 = CP_0(x)P_0(y)P_0(z)$$

Обозначим отношения ребер параллелепипеда через $k/h = \lambda$ и $k/d = \nu$. Тогда уравнения (7.5) получаются в виде

$$\begin{aligned} & (3 + 3\lambda^4 + 2\nu^4)A + (\lambda^2\nu^2 - 3\lambda - \sigma\nu^2 - \sigma\lambda^2)B + (\nu^2 - \sigma\lambda^2 - \sigma\lambda^2\nu^2 - 3\sigma\lambda^4)C = \\ & = \frac{25 \cdot 8^3 T_1}{2 \cdot 3^4 \pi^6} k^2 (1 + \lambda^2) \lambda^2 \end{aligned}$$

$$\begin{aligned}
 & (\lambda^2 v^2 - 3\sigma - \sigma v^2 - \sigma \lambda^2) A + (3 + 3v^4 + 2v^2) B + (\lambda^2 - \sigma v^2 - 3\sigma v^4 - \sigma \lambda^2 v^2) C = \\
 & = \frac{25 \cdot 8^3 T_1}{2 \cdot 3^4 \pi^5} d^2 (1 + v^2) v^2 \\
 & (v^2 - \sigma \lambda^2 - \sigma \lambda^2 v^2 - 3\sigma \lambda^4) A + (\lambda^2 - \sigma v^2 - 3\sigma v^4 - \sigma \lambda^2 v^2) B + \\
 & + (3\lambda^4 + 3v^4 + 2\lambda^2 v^2) C = \frac{25 \cdot 8^3 T_1}{2 \cdot 3^4 \pi^5} (d^2 + k^2) \lambda^2 v^2
 \end{aligned}$$

Приведем результат решения этих уравнений для случая $d = k$, и, следовательно, при $v = \lambda$ (параллелепипед с квадратным основанием). Для A , B и C имеем

$$\begin{aligned}
 A = B &= \frac{25 \cdot 8^3 T_1 h^2}{2 \cdot 3^4 \pi^5} \frac{3 + 4\lambda^2 + 4\sigma \lambda^2 + \sigma}{16\lambda^4 - 16\lambda^4 \sigma^2 + 8\lambda^2 - 8\sigma^2 \lambda^2 - 10\sigma - \sigma^2 + 11} \\
 C &= \frac{25 \cdot 8^3 T_1 h^2}{2 \cdot 3^4 \pi^5} \frac{16\lambda^4 + 16\lambda^4 \sigma + 12\sigma \lambda^2 - 8\sigma^2 \lambda^2 + 4\lambda^2 - 8\sigma + 8}{4\lambda^2 (16\lambda^4 - 16\sigma^2 \lambda^4 + 8\lambda^2 - 8\lambda^2 \sigma^2 - 10\sigma - \sigma^2 + 11)}
 \end{aligned}$$

Имея значения постоянных A , B , C согласно (1.6*), подсчитываем напряжения. Например, для компонента Z_z будем иметь

$$Z_z = \frac{4\pi^2}{d^2} A \left[\cos \frac{2\pi x}{d} \left(1 - \cos \frac{2\pi y}{k} \right) \left(1 - \cos \frac{2\pi z}{h} \right) + \right. \\
 \left. + \left(1 - \cos \frac{2\pi x}{d} \right) \cos \frac{2\pi y}{k} \left(1 - \cos \frac{2\pi z}{h} \right) \right]$$

Или окончательно:

$$Z_z = 10.195 T_1 \frac{\lambda^2 (3 + 4\lambda^2 + 4\lambda^2 \sigma + \sigma)}{16\lambda^4 - 16\lambda^4 \sigma^2 + 8\lambda^2 - 8\sigma^2 \lambda^2 - 10\sigma - \sigma^2 + 11} \times \\
 \times \left[\cos \frac{2\pi x}{d} \left(1 - \cos \frac{2\pi y}{k} \right) \left(1 - \cos \frac{2\pi z}{h} \right) + \left(1 - \cos \frac{2\pi x}{d} \right) \cos \frac{2\pi y}{k} \left(1 - \cos \frac{2\pi z}{h} \right) \right]$$

На фиг. 1 показана поверхность распределения этих напряжений по среднему сечению $Z = \frac{1}{2}h$ в случае куба ($\lambda = 1$), при $T_1 = 20^\circ$, $\sigma = \frac{1}{3}$. Максимальное сжимающее напряжение в центре куба $x/d = y/k = z/h = \frac{1}{2}$ будет

$$Z_z = 10.195 \times 20 \frac{3 + 4 + \frac{4}{3} + \frac{1}{3}}{16 - \frac{16}{9} + 8 - \frac{8}{9} - \frac{10}{9} - \frac{1}{9} + 11} [(-1) \cdot 2 \cdot 2 + 2 (-1) \cdot 2] = 489.3 \frac{\text{kg}}{\text{cm}^2}$$

В срединах сторон квадрата получается вдвое меньшее растягивающее напряжение; эти области являются наиболее опасными, так как в окрестности центра имеется напряженное состояние, близкое всестороннему сжатию, безопасному при весьма больших напряжениях. Необходимо, конечно, учесть, что пример этот проделан в первом приближении; следует ожидать, что в следующих приближениях распределение напряжений несколько выравнивается, и приведенные сейчас максимальные напряжения понизятся. Равенство нулю напряжений в углах сечения объясняется граничными свойствами косинус-бикомов. В последующих приближениях области, близких к нулю напряжений в окрестностях углов, будут сокращаться и в пределе — в углах должно обнаружиться явление Гиббса, как это имеет место, например, при разложении единицы в ряд по $\sin mx$ на интервале (0,1).

Поступила 5 V 1951

ЛИТЕРАТУРА

- Филоненко-Бородич М. М. Задача о равновесии упругого параллелепипеда при заданных нагрузках на его гранях. ПММ. 1951. Т. XV. Вып. 2.